



## طراحی و ساخت لوب جریان دوفازی همگن به منظور اندازه‌گیری درصدهای حجمی در مخلوط‌های جامد- مایع و نیز مایع- مایع با تکنیک تضعیف باریکه‌ی گاما

محسن شریفزاده<sup>\*۱</sup>، حسین خلفی<sup>۲</sup>، حسین آفریده<sup>۳</sup>، رضا قلیپور<sup>۱</sup>

۱. پژوهشکده‌ی کاربرد پرتوها، پژوهشگاه علوم و فنون هسته‌ای، سازمان انرژی اتمی ایران، صندوق پستی: ۱۱۳۶۵-۳۴۸۶، تهران - ایران

۲. پژوهشگاه علوم و فنون هسته‌ای، سازمان انرژی اتمی ایران، صندوق پستی: ۱۳۳۹-۱۴۰۵، تهران - ایران

۳. دانشکده‌ی مهندسی انرژی و فیزیک، دانشگاه صنعتی امیرکبیر، صندوق پستی: ۱۵۸۷۵-۴۴۱۳، تهران - ایران

**چکیده:** مسئله‌ی اندازه‌گیری جریان‌های چندفازی، یکی از موضوع‌های بسیار مهم در صنایع نفت و گاز، از اوایل دهه‌ی ۸۰ میلادی بوده است. جریان دوفازی آب- نفت در عملده‌ی موقع و به خصوص در جریان‌سنج‌هایی که براساس تغییک سه‌فازی آب- نفت- گاز به دوفازی آب- نفت و تک‌فازی گاز عمل می‌کنند، وجود دارد. در این‌جا، ابتدا لوب طراحی و ساخته شده‌ی TPFHL به صورت یک لوب همگن‌ساز جامد- مایع و نیز مایع- مایع، معرفی، و سپس به کمک شمارش گامای عبوری چشممه‌ی پرتوzای  $^{137}\text{Cs}$  اعتبارسنجی شد. نتایج قابل قبولی که در مقایسه با داده‌های مرتع به دست آمد، توانایی عملکرد لوب فوق در کنار چگالی‌سنج گاما را در اندازه‌گیری درصدهای حجمی طیف گسترده‌ای از مخلوط‌های دوفازی تأیید می‌کند. در ادامه، امکان بهره‌گیری از لوب فوق در محاسبه‌ی درصدهای حجمی دوفازی آب- نفت، با استفاده از چشممه‌ی پرتوzای  $^{241}\text{Am}$  شبیه‌سازی و بررسی شد که با نتایج انتشار یافته در سایر مقالات معتبر علمی سازگاری خوبی دارد.

**کلیدواژه‌ها:** جریان دوفازی، جریان دوفازی همگن، جریان دوفازی آب- نفت، لوب TPFHL، تکنیک گامای عبوری

## Design and Construction of a Two-Phase Flow Homogenizer Loop for Volume Fraction Measurement in Solid-Liquid as Well as Liquid-Liquid Mixtures by $\gamma$ -Ray Attenuation Technique

M. Sharifzadeh<sup>\*1,3</sup>, H. Khalafi<sup>2</sup>, H. Afarideh<sup>3</sup>, R. Gholipour<sup>1</sup>

1. Radiation Application Research School, Nuclear Science and Technology Research Institute, AEOI, P.O.Box: 11365-3486, Tehran-Iran

2. Nuclear Science and Technology Research Institute, AEOI, P.O.Box: 14155-1339, Tehran-Iran

3. Department of Energy Engineering and Physics, AmirKabir University of Technology, P.O. Box: 15875-4413, Tehran – Iran

**Abstract:** Multiphase flow metering, has been one of the most important issues in oil/gas industry, since the early 80s. Oil-water two-phase flow, shows off specially in flow meters that work based on separation of oil-water-gas three-phase flow into liquid (oil-water), and gas streams just before measurement. Here, at first, two-phase flow homogenizer loop (TPFHL) as a solid-liquid as well as liquid-liquid homogenizer loop, is introduced, and then its performance accuracy is verified by counting the transmitted gamma-rays of a  $^{137}\text{Cs}$  radioactive source. The acceptable results, compared to the reference data, endorse the capability of the introduced loop in conjunction with the gamma densitometer for volume fraction measurement in a wide range of two-phase mixtures. Moreover, the instrumentation usage for oil-water component fraction measurement was simulated, using an  $^{241}\text{Am}$  gamma source which showed a good agreement with the authentically published results.

**Keywords:** Two-Phase Flow, Homogenized Two-Phase Flow, Oil-Water Two-Phase Flow, TPFHL,  $\gamma$ -Ray Transmission Technique



## ۱. مقدمه

به لوب بسته‌ی جریان سه‌فازی موجود در مرکز پژوهشی Christian Michelsen دوگانه‌ی لوب‌های جریان پُرفشار و کم‌پشار در آزمایشگاه ملی Pro-lab انگلستان [۵]، و همچنین لوب جریان چندفازی واقع در مؤسسه‌ی پژوهشی Southwest در کشور آمریکا [۶] اشاره کرد. برای نمونه، لوب بسته‌ی سه‌فازی در مرکز پژوهشی Michelsen جریان سه‌فازی شامل گاز نیتروژن، گازوئیل و آب شور را به گردش درمی‌آورد. این لوب دارای دو بخش مجرزا با قطر لوله‌های  $15,24\text{ cm}$  و  $7,62\text{ cm}$  (۳ in و ۶ in)، یک تانک جداساز  $32\text{ m}^3$ ، پمپ‌های سانتریفیوژ و ابزار دقیق متنوعی در اندازه‌گیری درصد فازها، سرعت، فشار و دما هستند.

مطالعات اولیه به منظور طراحی و ساخت سنجه‌های اندازه‌گیری هسته‌ای، از جمله جریان‌سنج‌های چندفازی، مدتی است که در پژوهشکده‌ی کاربرد پرتوهای پژوهشگاه علوم و فنون هسته‌ای، آغاز شده است. با این حال فقدان لوب‌های تست و کالیبراسیون این دستگاه‌ها، پژوهشگران را بر آن داشته است تا به طراحی و ساخت لوب همگن‌ساز دوفازی با هدف کاربرد در اندازه‌گیری درصد حجمی گستره‌ی وسیعی از مخلوط‌های دوفازی جامد-مایع و مایع-مایع طراحی اقدام کنند.

### ۲.1 بیان مسئله‌ی اندازه‌گیری

آنکه‌های جریان جرمی و حجمی تک‌تک مؤلفه‌ها در جریان سه‌فازی نفت، آب، و گاز، از کمیت‌های مهم مورد اندازه‌گیری در مقیاس تجاری‌اند. تاکنون، تکییکی که قادر باشد برای یک جریان چندفازی جداسازی نشده، آنکه جریان را مستقیماً به دست آورد، به وجود نیامده است. در نتیجه، نیاز است که از روش استنتاجی به این منظور کمک گرفته شود. همان‌گونه که در شکل ۱ نشان داده شده است، مسئله‌ی اندازه‌گیری جریان سه‌فازی، به اندازه‌گیری هم‌زمان مؤلفه‌های سرعت تک‌تک فازها در کنار درصدهای مقطعي و نيز چگالي آنها تبدیل می‌شود. آنکه جریان حجمی جریان سه‌فازی به صورت زیر بیان می‌شود:

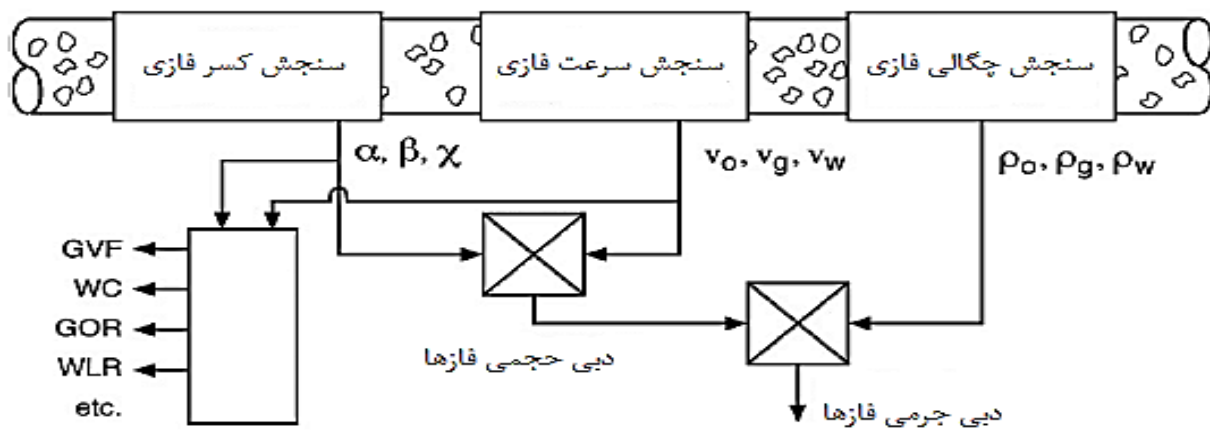
[۷]

$$Q = A (\alpha_{\text{gas}} v_{\text{gas}} + \alpha_{\text{water}} v_{\text{water}} + \alpha_{\text{oil}} v_{\text{oil}}) / 100 \quad (1)$$

سیالات چندفازی را به عنوان جریان هم‌زمانی از فازهای جامد، مایع و گاز که از یک لوله می‌گذرد تعریف می‌کنند. جریان چندفازی یک پدیده‌ی متداول در صنایع مختلف نظری راکتورهای شیمیایی و نیروگاه‌های قدرت است. به صورت ویژه، سیالات چندفازی در صنایع نفت و گاز دارای اهمیت فراوانی هستند. در چاه‌های نفت و گاز و خطوط جریان آنها، غالب جریانی از موادی را داریم که از مخازن برداشت می‌شوند و می‌توانند شامل گازهای هیدروکربنی ( $\text{CO}_2$ ) و مقداری  $\text{H}_2\text{S}$ ، مایعات هیدروکربنی (نفت و میعانات نفتی)، آب و جامدات (شن و ماسه) باشند [۱].

حضور جریان چندفازی در صنعت نفت و به ویژه در اکتشاف محصولات هیدروکربنی در هر دو موقعیت میدان‌های نزدیک به ساحل و دور از ساحل کاملاً مشهود است. مشاهده شده است که استفاده از فن‌آوری سنجه‌های چندفازی، یک عامل حیاتی در زمینه‌ی استخراج از میدان‌های نفتی و گازی حاشیه‌ی ساحل است و علاوه بر افزایش سرعت بازگشت سرمایه، باعث کاستن از هزینه‌ی مصرفی کل می‌شود [۲]. با وجود راه حل‌های بسیار زیادی که در سال‌های اخیر به منظور دست‌یابی به یک جریان‌سنج ایده‌آل ارائه شده است، اما هیچ نمونه‌ی تجاری شده‌ای تاکنون ساخته نشده است که تمام ویژگی‌های ایده‌آل نظری دقت بالا، عدم تداخل، داده‌های قابل اطمینان و عدم وابستگی به رژیم جریان و درنهایت قابلیت استفاده در تمام محدوده‌ی درصدی مؤلفه‌ها را در خود جای دهد [۳].

قبل از اینکه یک جریان‌سنج برای اندازه‌گیری در شرایط خاص مربوط به میدان نفتی و یا گازی استفاده شود، لازم است مراحل تست و کالیبراسیون آن در شرایط مشابه و البته در یک تأسیسات استاندارد طی شود. سپس با حاکم کردن شرایط مشابه میدان‌های واقعی در چنین تأسیساتی، نظری رژیم‌های مختلف جریان، فشار، دما، هندسه‌ی لوله، امکان قرار گیری سنجه‌ی اندازه‌گیری جریان در محل مناسب، به منظور اندازه‌گیری درصد حجمی، سرعت و درنهایت دبی حجمی و جرمی جریان چندفازی فراهم خواهد شد. لوب‌های کالیبراسیون مختلفی در خارج از کشور وجود دارند که از آن جمله می‌توان



شکل ۱. راه حل استنتاجی برای مسئله‌ی اندازه‌گیری جریان سه‌فازی [۷].

## ۲. تضعیف پرتو گاما‌ی عبوری از ماده

شدت پرتو گاما در عبور از مخلوطی سه‌فازی و همگن، در نتیجه‌ی برهم‌کنش‌های فوتولکتریک، کامپتون و یا تولید جفت، تضعیف می‌شود که این فرایند از قانون تضعیف نمایی Beer-Lambert پیروی می‌کند:

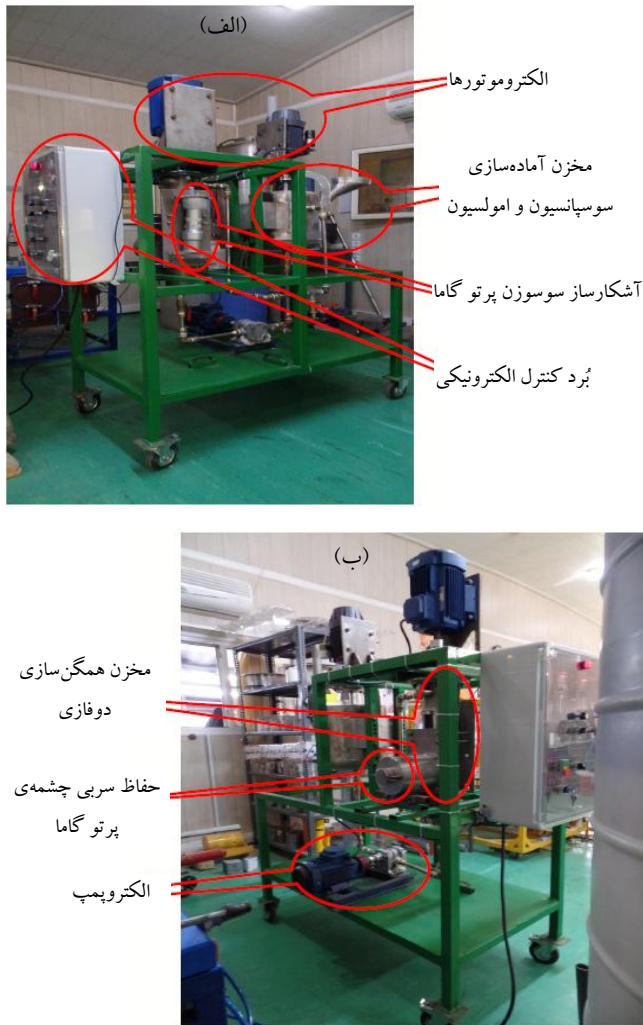
$$I_{mix} = I_0 B \exp(-d \{ \alpha_{gas} \mu_{gas} + \alpha_{water} \mu_{water} + [100 - (\alpha_{gas} + \alpha_{water})] \mu_{oil} \} / 100) \quad (2)$$

ضرایب تضعیف خطی مؤلفه‌های گاز، آب و نفت، طی فرایند کالیبراسیون و در حالتی که کل لوله از هر کدام از فازهای مربوط پُر شده باشند، با معادله‌ی (۲) اندازه‌گیری خواهند شد. یک موادی ساز باریک مناسب به همراه حفاظات‌های سربی اطراف چشم و آشکارساز سبب می‌شود تا فقط فتوون‌های عبوری وارد آشکارساز شوند و در نتیجه ضریب تجمعی برابر با ۱ منجر به ساده شدن محاسبات، و به دنبال آن حذف خطای هندسی شود. در شرایطی که صرفاً یک دوفازی نفت - آب، کل سطح مقطع لوله را پُر کرده باشد، و به ازای برقراری شرایط هندسی مناسب برای حذف ضریب تجمعی، معادله‌ی تضعیف (۲) به شکل معادله‌ی (۳) تبدیل می‌شود:

$$I_{mix} = I_0 \exp(-d \{ \alpha_{oil} \mu_{oil} + \alpha_{water} \mu_{water} \} / 100) \quad (3)$$

با توجه به این‌که همواره  $\alpha_{gas} + \alpha_{water} + \alpha_{oil} = 100$  است، لازم است تها دو مؤلفه‌ی درصد مقطعي (عموماً درصدهای گاز و آب) اندازه‌گیری شوند. در مورد مسئله‌ی جریان‌های دو فازی، وضعیت مشابه آنچه در بالا به آن پرداخته شد وجود خواهد داشت، با این تفاوت که در اینجا تنها لازم است یک مؤلفه‌ی درصد مقطعي اندازه‌گیری شود.

یکی از استراتژی‌های مفیدی که با کاستن از تعداد تکنیک‌های مورد نیاز در اندازه‌گیری درصد مقطعي مؤلفه‌های جریان چندفازی، منجر به ساده‌سازی و در عین حال کاهش خطای سیستم می‌شود، همگن‌سازی جریان چندفازی پیش از انجام اندازه‌گیری خواهد بود. با بهره‌گیری از سازوکار همگن‌ساز، چگالی مخلوط در تمام سطح مقطع لوله‌ی جریان یکسان می‌شود و در نتیجه تنها با استفاده از اندازه‌گیری تضعیف گاما‌ی یک باریکه‌ی عبوری از مخلوط به جای چند باریکه که کل سطح مقطع لوله را جاروب کنند، می‌توان مقادیر درصد مقطعي تک تک مؤلفه‌های جریان چندفازی را مستقل از رژیم عبوری جریان به دست آورد. از جمله کارهایی که در این حوزه انجام گرفته است می‌توان به پژوهش Hewitt و همکاران اشاره کرد [۸]، که در آن از یک مخلوط کننده‌ای دوسلولی به صورت برخط، و برای همگن‌سازی جریان دوفازی گاز - مایع، به صورت پیش شرطی به منظور اندازه‌گیری درصدهای مقطعي استفاده شده است. در دسته‌ی دیگری از کارهای انجام شده، بر روی همگن‌سازی جریان چندفازی با استفاده از نصب اتصال سه‌راهی کور و تغییر مسیر حرکت جریان به سمت بالا، به منظور ایجاد یک همگن‌سازی مطلوب به جای نصب مخلوط کننده‌ها در خطوط لوله استفاده شده است [۱۱-۹].



شکل ۲. (الف) تصویر مریبوط به نمای جلوی لوب TPFHL، (ب) تصویر مریبوط به نمای پشتی لوب TPFHL.

### ۱.۳ محاسبات مکانیکی و طراحی لوب ۱.۳.۱ مخزن همگن ساز

در این بخش و با هدف تبدیل سوسپانسیون تحویلی از مخزن آماده سازی به یک مخلوط همگن به منظور قرار گرفتن در مسیر باریکه‌ی گامای عبوری، محاسبات دقیق پارامترهایی چون نوع و تعداد پره‌ها، فاصله‌ی متواالی پره‌ها، فاصله‌ی پره‌ی انتهایی از کف مخزن، فاصله‌ی تیغه‌ی پره تا دیواره‌ی داخلی، جهت و سرعت چرخش همزن، ابعاد و هندسه‌ی کف مخزن، نوع، تعداد و ابعاد تیغه‌های نصب شده در دیواره‌ی مخزن<sup>(۱)</sup> و محل ورودی و خروجی انجام شد. فاز مطالعاتی به منظور طراحی نهایی، با کمک موارد گزارش شده استاندارد موجود در راهنمای مخلوط‌سازی صنعتی آغاز شد [۱۲]. روند کار به این صورت مقرر شد که به منظور بالا کشیدن هر چه بیشتر پودر جامد در

از طرفی با توجه به این که همواره  $\alpha_{oil} + \alpha_{water} = 100$  است، با اندکی محاسبات، مقادیر درصدهای حجمی به دست می‌آید:

$$\begin{cases} \alpha_{oil} = \frac{\ln(I_{water} / I_{mix})}{\ln(I_{water} / I_{oil})} \times 100 \\ \alpha_{water} = 100 - \alpha_{oil} \end{cases} \quad (4)$$

در تلاش به منظور رسیدن به معادله‌ای مشابه (۴) برای دوفازی جامد-مایع، ابتدا درصدهای جرمی مورد نیاز برای تست بر حسب درصدهای حجمی متناظرشان با اندک محاسبات ریاضی به دست آمد:

$$\beta_{powder} = \frac{\rho_{powder} \alpha_{powder}}{\rho_{powder} \alpha_{powder} + \rho_{water} (100 - \alpha_{powder})} \quad (5)$$

از آنجا که در مرحله‌ی کالیبراسیون، امکان داشتن مخزن پُرس از پودر به سبب مشکل انسداد لوب غیرممکن است، در نتیجه کالیبراسیون به جای ۱۰۰٪ حجمی پودر، با حداکثر درصد حجمی مجاز انجام گرفت. در ادامه، شکل توسعه یافته‌ی معادله (۴) را خواهیم داشت:

$$\begin{cases} \alpha_{powder} = t \times \frac{\ln(I_{mix} / I_{water})}{\ln(I_t / I_{water})} \\ \alpha_{water} = 100 - \alpha_{powder} \end{cases} \quad (6)$$

### ۳. لوب TPFHL

یکی از راهبردهای بسیار مفید در ساده‌سازی فرایند اندازه گیری جریان‌های چندفازی، همگن‌سازی جریان، بهره‌گیری از یک چگالی سنج گاما و نیز یک آشکارساز به جای آرایه‌ای از آشکارسازها برای اندازه گیری درصد حجمی مؤلفه‌ها، مستقل از رژیم عبوری جریان است. لوب TPFHL تلاشی است در جهت رسیدن به این مطلوب، که در پژوهشگاه علوم و فنون هسته‌ای در یک بازه‌ی زمانی یک و نیم ساله به مرحله‌ی ساخت رسید. شکل ۲ نمایی از لوب ساخته شده‌ی نهایی را نشان می‌دهد.



$$N_{js} = S \times v_1 \times \left[ \frac{g_c \times (\rho_s - \rho)}{\rho} \right]^{1/4} \times x^{1/3} \times d_p^{1/2} \times D^{-1/80} \quad (7)$$

در این جا  $v_1$  گرانروی جنبشی مایع بر حسب  $\frac{m}{sec}$  ثابت  $g_c$  گرانش برابر با  $9,81 \frac{m}{s^2}$  و  $\rho_s$  به ترتیب چگالی فاز جامد و مایع بر حسب  $\frac{kg}{m^3}$ ،  $x$  نسبت وزنی پودر به مایع،  $d_p$  قطر بزرگ‌ترین ذره جامد بر حسب متر (ابعاد مشاهده غربال)،  $D$  پرهی همزن بر حسب m، و در نهایت S ثابت بدون بعد معادله است که به ازای پره‌های PBT ۴۵° با مقادیر  $\frac{C}{T} = \frac{1}{3}$  و  $\frac{1}{4}$  مساوی با ۴/۴ است. برای پودر سنگ آهن مورد استفاده در این پژوهش، اندازه‌ی دانه‌ها حداقل  $1\text{ mm}$  و چگالی  $4,22 \text{ g/cm}^3$  در نظر گرفته شد. گرانروی جنبشی مایع از رابطه‌ی (۸) به دست می‌آید:

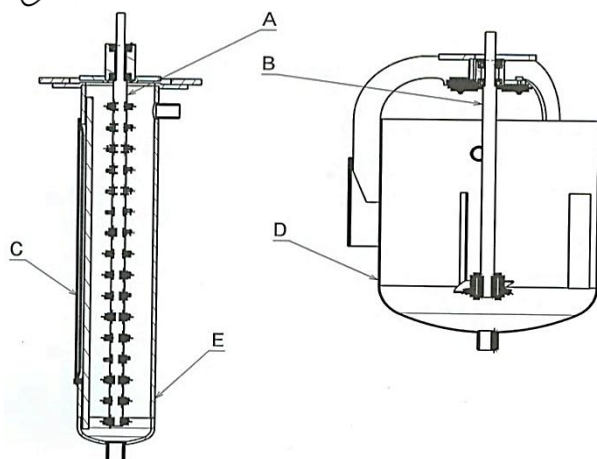
$$v_1 = \frac{\mu_1}{\rho_1} \quad (8)$$

به ازای حداقل درصد حجمی پودر ۳۰٪ و گرانروی مطلق  $P$  ۰,۰۰۱ برای آب، مقدار گرانروی جنبشی برابر با  $0,000001 \text{ m}^3/\text{s}$  به دست آمد. در انتهای، با در نظر گرفتن ضریب تبدیل ۱/۷۱ و استفاده از معادله‌ی (۷)، حداقل سرعت دورانی به منظور رسیدن به مخلوط همگن پودر سنگ آهن-آب برابر با  $26,8 \text{ rps}$  به دست آمد. توان مصرفی الکتروموتور در این شرایط عبارت خواهد بود با:

$$P = \frac{N_p \times \rho_{mix} \times N_{us} \times D^\circ}{g_c} \times \eta \times \gamma \quad (9)$$

به ازای شرایط کاملاً مغشوش (عدد رینولدز بالاتر از ۱۰۰۰)، عدد توان مساوی با ۲۵/۲۸ است (این عدد به نوع و مشخصات هندسی پره‌ها و تعداد آنها بستگی دارد). به ازای بازدهی ۵۰٪ و همچنین درصد اتلافی ۳۳٪ در نتیجه‌ی اصطکاک، حداقل توان لازم نهایی الکتروموتور برای همگن‌ساز برابر با  $23,3 \text{ W}$  (یا معادل آن  $0,032 \text{ hp}$ ) خواهد شد.

مخزن همگن‌ساز، از کف مقعر استفاده شود. ارتفاع این مخزن ۶۰ cm در نظر گرفته شد تا کمینه فضای لازم برای قرارگیری چگالی سنج با وجود نیاز به کمترین تعداد پره‌های همزنی فراهم شود. قطر این لوله‌ی استوانه‌ای برابر با  $T=10,32 \text{ cm}$  انتخاب شد تا امکان ارزیابی عملکرد چگالی سنج و یا سنجه‌های دیگری که قرار است در آینده با لوب ساخته شده‌ی نهایی تست و کالیبره شوند، بر روی یکی از قطرهای رایج در خطوط لوله‌ی جریان واقعی برقرار شود. پره‌های همزنی توربینی متشکل از ۴ تیغه‌ی صاف مربعی در زاویه‌ی ۴۵° با افق با نام تجاری ۴۵°PBT، بهترین گزینه برای داشتن بازدهی عملکردی نسبتاً بالا انتخاب شد. این نوع پره علاوه بر ایجاد تنفس برشی لازم برای ایجاد بیشینه اختلاط در مخلوط، با ایجاد جریان محوری مناسب به منظور بالا کشیدن (یا پایین کشیدن) فاز پخش شده‌ی متمایل به تهنشینی (تعلیق)، شرایط را برای تولید یک مخلوط دوفازی همگن در این مخزن فراهم می‌کند. مطابق با این استاندارد، قطر این پره‌ها مساوی با فاصله‌ی دو پره متواالی نصب شده بر روی محور همزن و برابر با  $D=S=\frac{T}{3}=3,44 \text{ cm}$  در نظر گرفته شد. پهنه‌ی هر تیغه برابر با  $w=1 \text{ cm}$ ، ضخامت آن  $a=0,20 \text{ cm}$  و تعداد پره‌های لازم روی محور همزن استیل با قطر  $1 \text{ cm}$  برابر با ۱۶ عدد در نظر گرفته شد که فاصله‌ی آخرین پره از کف مخزن برابر با  $C=\frac{T}{4}=2,58 \text{ cm}$  است. با وجود چنین فاصله‌ای، حداقل تنفس برشی ناشی از جریان شعاعی، در عین داشتن بیشینه سرعت اغتشاش ناشی از جریان محوری، قابل دست‌یابی است و به ایجاد شرایط جدا از کف<sup>(۲)</sup> برای فاز پخش شده کمک خواهد کرد. دیواره‌های داخل مخزن با ۴ تیغه‌ی عمودی صاف با پهنه‌ی  $B=\frac{T}{10}=1,03 \text{ cm}$  و فاصله‌ی خالی تا دیواره‌ی با  $b=\frac{1/5 \times T}{100}=0,15 \text{ cm}$  در چینشی متقارن و با اختلاف زاویه‌ی ۹۰° پوشانده شد که در تبدیل جریان گردابی مخلوط دوفازی به یک جریان محوری به منظور ایجاد بیشینه اغتشاش، بسیار مفید و مؤثر خواهد بود. حداقل سرعت دورانی جهت رسیدن به یک سوسپانسیون کامل به کمک فرمول ارائه شده توسط Zwietering به دست آمد که با یک ضریب تبدیل، حداقل سرعت دورانی لازم برای ایجاد مخلوط همگن قابل محاسبه است:



شکل ۳. طرح مخزن همگن‌ساز (سمت چپ) و مخزن آماده‌سازی سوسپانسیون (سمت راست). (A) شانزده پره‌ی همزنی  $45^\circ$ PBT، (B) یک پره‌ی همزنی  $30^\circ$ PBT، (C) پنجره‌ی پلکسی گلاس تعییه شده در لوله‌ی همگن‌ساز، (D) مخزن آماده‌سازی سوسپانسیون و (E) مخزن همگن‌ساز.

#### ۳.۱.۳ تغهدارند

استفاده از پروفیل آهنی برای ثابت نگه داشتن مخازن و الکتروموتورهای مربوطه‌شان در کنار نصب الکتروپمپ و در نهایت ایجاد بسته‌ی مناسب به منظور قرار گیری چگالی سنج حول مخزن همگن‌ساز از نکات مهم در نظر گرفته شده در این بخش است.

#### ۴.۱.۳ لوله‌کشی، الکتروپمپ و شیرهای کنترل و تخلیه

به منظور ایجاد یک چرخه‌ی بسته بین مخازن، خروجی از کف مخزن سوسپانسیون به ورودی الکتروپمپ، و خروجی الکتروپمپ به ورودی از کف مخزن همگن‌ساز با لوله‌های فولادی متصل شدن. امکان در گیرشدن تمامی ۱۶ پره در فرایند همگن‌سازی مخلوط از مزایای این اتصال و پُرشدن مخزن همگن‌ساز از کف وجود دارد. خروجی بالای مخزن همگن‌ساز به ورودی بالای مخزن سوسپانسیون متصل شد. تعییه‌ی یک شیر کنترل قبل از ورود مخلوط به مخزن همگن‌ساز سبب شد تا پس از گذشت چند دقیقه از گردش دوفازی در لوب، با بستن آن (که البته باید پس از خاموش سازی الکتروپمپ صورت گیرد) یک مخلوط همگن در مخزن همگن‌ساز برای انجام آزمایش چگالی سنجی در اختیار باشد. یک شیر کنترل نیز در خروجی مخزن سوسپانسیون به منظور تنظیم دبی جریانی که به گردش درمی‌آید تعییه شد. در خروجی الکتروپمپ نیز یک عدد

#### ۲.۱.۳ مخزن و همزن آماده‌سازی سوسپانسیون

در طراحی این بخش نیز کلیه‌ی پارامترهای مهم مورد اشاره برای مخزن و همزن همگن‌ساز با استدلالی شبیه آنچه در بخش همگن‌ساز مطرح شد، در نظر گرفته شد. با این تفاوت که این بار هدف، رساندن دوفازی تحويلی به یک سوسپانسیون جدا از کف مخزن است. حجم مخزن مورد استفاده در این بخش برابر جلوگیری از مکش هوا<sup>(۳)</sup> به درون لوب در نتیجه‌ی جریان گردابی ناشی از چرخش همزن در یک برآورد محتاطانه، ۴ برابر حجم مخزن همگن‌ساز در نظر گرفته شد. تعییه‌ی ۳ ورودی مجزا از جمله نکاتی است که برای این مخزن صورت گرفت. یک ورودی قیف مانند به کمک دریچه‌ی قابل تنظیم، امکان اضافه کردن مرحله‌ی پودر را به مخزن و نزدیک محور همزنی که دارای بیشینه اغتشاش است فراهم می‌کند. ورودی دوم برای افزودن فاز مایع اولیه به لوب است، و سومین ورودی نیز با لوله‌کشی به خروجی مخزن همگن‌ساز برای برقراری یک لوب بسته متصل شد. قطر و ارتفاع این مخزن استوانه‌ای برابر با  $30\text{ cm}$  انتخاب شد. پره‌های همزنی توربینی مشکل از  $4$  تیغه‌ی صاف مربعی در زاویه‌ی  $30^\circ$  با افق با نام تجاری  $30^\circ$ PBT به منظور ایجاد سهم عمده‌ی جریان رو به پایین برای داشتن یک سوسپانسیون جدا از کف استفاده شد. به دلیل این که نسبت طول دوغاب به قطر این مخزن همواره کوچک‌تر از واحد است تنها از یک پره روی محور همزن استفاده شد. قطر این پره برابر با  $C = \frac{T}{8} = 10\text{ cm}$  و فاصله آن تا کف مخزن  $= 375\text{ cm}$  و در نظر گرفته شد. پهنه‌ای هر تیغه برابر با  $\frac{T}{25} = 4\text{ cm}$  و ضخامت آن  $t = 0.2\text{ cm}$  در نظر گرفته شد که منجر به داشتن مقدار  $S = 7/2$  می‌شود. دیواره‌های داخل مخزن با  $4$  تیغه‌ی عمودی صاف با پهنه‌ای  $B = \frac{T}{10} = 3\text{ cm}$  و فاصله‌ای خالی تا دیواره  $b = \frac{1.5 \times T}{100} = 0.45\text{ cm}$  در چشمی مقارن و با اختلاف زاویه‌ی  $90^\circ$  پوشانده شد. در استدلالی مشابه مخزن همگن‌ساز، در نهایت حداقل سرعت دورانی برابر با  $25/67\text{ rps}$ ، و حداقل توان الکتروموتور برابر با  $0.002\text{ hp}$  به دست آمد. در شکل ۳، طرح مخزن سوسپانسیون و همگن‌ساز به همراه همزن‌های مربوط نشان داده شده است.



زیر این مخزن، و نیز مخزن همگن‌ساز و در حالی که شیر تخلیه بسته است، با روشن کردن الکتروپمپ، امکان به چرخش در آمدن آن فراهم می‌شود. سپس الکتروموتورهای مربوط به همزن‌ها به کار می‌افتد تا پس از چند دور گردش مایع، وجود یک مایع کاملاً یک دست و عاری از هر نوع حباب از دیواره‌ی شفاف پلکسی مخزن همگن‌ساز تأیید شود. پس از این و در حالتی که فاز دوم در قسمت قيفمانند متصل به مخزن سوسپانسیون ریخته شده است، باز کردن اندک پنجره‌ی این قيف، مقدار کمی از فاز دوم اجازه یافت تا به فاز حامل اولیه افزوده شود. پس از گذر زمانی نسبتاً کوتاه، یک ترکیب دوفازی همگن از دیواره‌ی شفاف پلکسی قابل مشاهده است. این کار باید به فواصل زمانی مشخص تا جایی ادامه یابد که کل فاز دوم به فاز اولیه اضافه شده باشد. تضمین حضور یک دوفازی کاملاً همگن که کل مقطع لوله در مخزن همگن‌ساز را پُر کرده باشد، کار کرد اصلی این لوب است. چگالی سنج گاما در محل مناسبی گونه‌ای قفل می‌شود که باریکه‌ی گاما از دیواره‌های پلکسی گلاس با ضخامت ۱ cm، جای گزین جداره‌ی آهنی دیواره در دو طرف، عبور کند. مزیت عمدی این کار، کاهش چشمگیر تضعیف پرتوهای گاما (به خصوص گاماها‌ی کم انرژی) توسط دیواره‌های لوله و نیز فراهم ساختن امکان مشاهده‌ی عینی دوفازی موجود در لوله به منظور تأیید چشمی همگن بودن مخلوط است. چگالی سنج امکان حرکت بر روی لوله در امتداد محوری و شعاعی را خواهد داشت.

**۳.۳ اعتبارسنجی عملکرد لوب**  
پیش از استفاده از لوب فوق به منظور اندازه‌گیری در صدھای حجمی دوفازی، لازم است صحت عملکرد کلی آن، و به خصوص سازگار همگن‌سازی اش در یک تست استاندارد بررسی و تأیید شود. اگرچه با وجود دیواره‌های شفاف لوله در بخش همگن‌سازی، امکان بررسی کیفی این موضوع فراهم است، اما نیاز به یک سازوکار اعتبارسنجی کمی و استاندارد، کاملاً محسوس است. از آن‌جا که صحت عملکرد چگالی سنج پیش از این پژوهش و در مورد سیالات تک‌فازی و یا دوفازی‌های حل‌شونده در یک‌دیگر ثابت شده است، با مقایسه‌ی نتایج

شیر تخلیه به منظور تخلیه و پاک‌سازی لوب پس از پایان آزمایش نصب شد. پس از بررسی الکتروپمپ‌های صنعتی در گزارش‌های استاندارد موجود در کتب مرجع [۱۳ و ۱۴] و در نهایت با در نظر گرفتن هزینه، پمپ دندھای با توانایی پمپاژ L/min ۵، گزینه‌ی مناسب انتخابی شد.

### ۵.۱.۳ بُرد کنترل الکترونیکی دستگاه

در انتهای، یک بُرد الکترونیکی برای کنترل لوب طراحی و ساخته شد. از ویژگی‌های بارز این بُرد، امکان روشن/خاموش کردن الکتروموتورهای همزن‌ها به علاوه‌ی الکتروپمپ در کنار کنترل چرخش آن‌ها است. خاموش‌سازی خودکار برق دستگاه پس از قطع و وصل برق آزمایشگاه، کسب اجازه از کاربر پس از اتصال مجدد برق آزمایشگاه، و کنترل دستگاه به صورت بی‌سیم به منظور کاهش ذر رسانیده به کاربر در حین تنظیم دستگاه، از ویژگی‌های بارز این واحد هستند. انتخاب الکتروموتورهای با توان ۱hp در کنار استفاده از مبدل‌هایی که سرعت‌های چرخش همزنی را تا مقدار بیشینه ۱۲۰۰ rpm ایجاد می‌کنند، لوب ساخته شده را برای گستره‌ی وسیعی از مواد دوفازی جامد-مایع و نیز مایع-مایع قابل کاربرد می‌کند. در مورد دوفازی نفت-آب، به دلیل کاهش اختلاف چگالی دوفاز نسبت به حالت پودر-آب از ۰,۸۵ g/cm<sup>۳</sup> به حدود ۰,۱۵ g/cm<sup>۳</sup> (چگالی نفت برابر با ۰,۲۲ g/cm<sup>۳</sup>) در نظر گرفته شد، با وجود داشتن گرانروی جنبشی از مرتبه‌ی بزرگی ۲,۶ برابر، حداقل چرخش همزن نسبت به وضعیت پودر-آب برابر خواهد شد با:

$$\frac{N_{js}(\text{oil - water})}{N_{js}(\text{powder - water})} = \frac{0,28}{1} = \frac{(0,15)}{\frac{0,45}{0,22}} \quad (10)$$

که تأییدی بر توانایی لوب در همگن‌سازی کامل دوفازی نفت-آب برای اندازه‌گیری در صد حجمی توسط یک سنجه‌ی گاما است.

### ۲.۳ راه اندازی لوب

ابتدا فاز مایع حامل، از ورودی تعییه شده در بالا، به مخزن آماده‌سازی سوسپانسیون وارد، و سپس با باز کردن شیر فلکه‌ی



## ۴. نتایج

### ۱. نتایج اعتبارسنجی لوب

نتایج مربوط به شمارش‌های عبوری گاما از لوله‌ی بخش همگن‌ساز لوب TPFHL به ازای درصدهای حجمی مختلف پودر سنگ آهن شامل  ${}^0\text{,}5\text{,}10\text{,}15\text{,}20\text{,}25\text{,}30$ % پودر آmade، و در ارتفاع‌های مختلف، برای حالت عبوری باریکه‌ی گاما از کنار محور، اندازه گیری شد. در هر مرحله از اندازه گیری، یکی از درصدهای حجمی بالا به مخزن آmade‌سازی سوپرانسیون خورانده شد. تمامی شمارش‌ها در بازه‌های زمانی ۵ min و به تعداد ۱۰ بار انجام گرفت و میانگین آهنگ‌های شمارش به دست آمده به صورت شمارش مرتبط با درصد حجمی مورد نظر ثبت، و در معادله‌ی (۶) برای انجام محاسبات استفاده شد.

با استفاده از داده‌های جدول ۱ و نیز معادله‌ی (۶)، که برای دوفازی پودر-آب قابل بازنویسی شده است، مقادیر درصد حجمی پودر محاسبه، و در جدول ۲ ارائه شده است.

در شکل ۴، نمودار تغییرات درصدهای حجمی اندازه گیری شده‌ی پودر نسبت به مقادیر از پیش آmade‌سازی در آزمایشگاه، به ازای ارتفاع‌های مختلف قرار گیری سنجه‌ی گاما حول مخزن همگن‌ساز نشان داده شده است. همان‌گونه که مشهود است، هم‌خوانی قابل قبولی بین نتایج حاصل از اندازه گیری درصد حجمی به ازای ارتفاع‌های مختلف وجود دارد که تأییدی بر عملکرد سیستم همگن‌ساز در تحویل یک دوفازی با درجه‌ی همگنی یکسان در امتداد ارتفاع این مخزن است. با توجه به توافق قابل قبول بین نتایج اندازه گیری و مقادیر از پیش آmade‌سازی شده‌ی درصدهای حجمی که با پیشینه عدم تطابق  ${}^3\% \pm 5\%$  حجمی پودر قابل مشاهده است، می‌توان بر صحت عملکرد همگن‌سازی لوب مورد اشاره تأکید کرد. همان‌گونه که از نمودار مشخص است، به ازای درصدهای پایین، بر خطای سیستم در همگن‌سازی افزوده می‌شود که به سبب پایین بودن درصد پودر و عدم امکان قرار گیری، نماینده‌ی صحیحی از این درصدها پیش روی باریکه‌ی عبوری است.

اندازه گیری درصدهای حجمی مخلوط‌های نامحلول در یک دیگر، با درصدهای آmade‌سازی شده (به طور خاص در مورد پودر سنگ آهن-آب در این پژوهش)، که صرفاً با وجود یک محیط کاملاً همگن دارای مقادیری برابر و در محدوده‌ی خطای قابل قبول ( $\pm 5\%$ ) قرار خواهد شد، می‌توان به صورت کمی و البته استاندارد، عملکرد همگن‌سازی لوب را بررسی و تأیید کرد. در اینجا از تضعیف باریکه‌ی گاما چشمی  ${}^{137}\text{Cs}$  با پرتوزایی  ${}^{370}\text{MBq}$  (۱۰ mCi) استفاده شد. در گام نخست، درصد حجمی مشخصی از پودر به صورت مخلوط دوفازی جامد-مایع شامل پودر سنگ آهن (با غنای ۶۷%) با آب ایجاد، و به لوب خورانده شد. پس از گذشت زمان متوسطی در حدود ۵ min همگن‌سازی دوفازی به صورت کیفی و به کمک پنجره‌های شفاف لوله (دیواره‌های پلکسی گلاس) تأیید شد، سپس مجموعه‌ی چگالی سنج گاما شامل چشمی پرتوزا و آشکارساز سوسوزن بر روی لوله مخزن همگن‌ساز و در محل مناسب تعییه شده در نگه‌دارنده (در ارتفاع ۲۰ cm از پایین لوله مخزن) قرار داده شد. باریکه‌ی نازک ایجاد شده از میان موازی سازهای سربی، از کنار محور همزن و نیز دیواره‌ی شفاف پلکسی عبور داده، و شمارش‌ها برای یک بازه‌ی زمانی ۵ min انجام شد. در ادامه، با گام‌های ۵ cm در امتداد محور لوله‌ی استوانه‌ای چگالی سنج جابه‌جا، و در مکان‌های مذکور قرار داده، و شمارش‌های مشابه انجام شد. آهنگ شمارش ثبت شده‌ی نهایی برابر با حاصل تقسیم شمارش بر مدت زمان شمارش بر حسب ثانیه است. با حصول اطمینان از عملکرد لوب همگن‌ساز، به این مطلب پرداخته شده که در یک محیط شبیه‌ساز MCNP، با چه دقی (قاعدتاً بهترین دقی خواهد بود که می‌توان امیدوار بود در آینده و با داده گیری تجربی به آن دست یافت) می‌توان اندازه گیری درصدهای حجمی را برای دوفازی آب-نفت در اختیار داشت. داده گیری تجربی مربوط به این کار نیازمند شبیه‌سازی به منظور طراحی و ساخت یک موازی ساز با ابعاد مناسب از نظر قطر و عمق سوراخ دارد که نه تنها تاکنون به آن پرداخته نشده، بلکه خود به صورت پژوهشی مستقل شایسته‌ی پرداختن است.

جدول ۱. آهنگ شمارش گامای عبوری  $^{137}\text{Cs}$  از لوله‌ی حاوی جریان دوفازی آب-پودر سنگ آهن (با غنای ۰/۶۷)

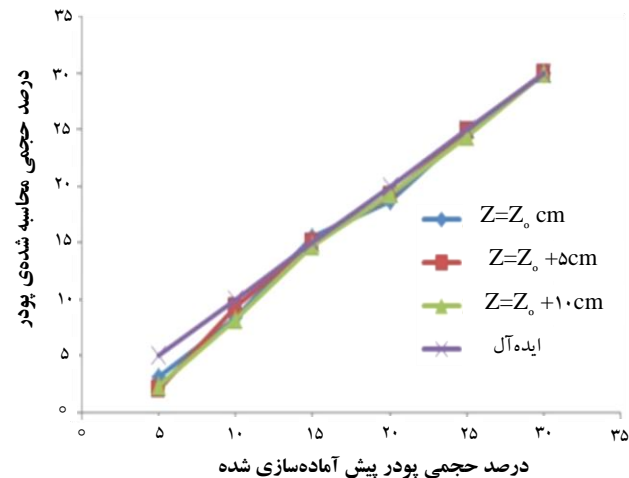
	۰/۳٪ حجمی پودر	۰/۲۵٪ حجمی پودر	۰/۲۰٪ حجمی پودر	۰/۱۵٪ حجمی پودر	۰/۱۰٪ حجمی پودر	۰/۰۵٪ حجمی پودر	I
Z=Z <sub>o</sub>	۶۹۱۱±۱۱۴	۶۳۴۸±۱۰۸	۵۶۳۶±۱۰۹	۵۳۵۷±۱۰۷	۴۸۳۸±۹۵	۴۴۴۳±۸۷	I
Z=Z <sub>o</sub> +۵	۷۰۵۶±۱۲۰	۶۲۹۵±۱۱۳	۵۷۶۸±۱۱۰	۵۴۱۳±۹۶	۴۹۵۴±۹۱	۴۵۷۵±۸۸	I
Z=Z <sub>o</sub> +۱۰	۶۹۹۷±۱۰۰	۶۳۴۲±۱۰۰	۵۶۹۴±۱۰۰	۵۲۸۴±۱۰۰	۴۸۵۰±۱۰۰	۴۴۱۸±۱۰۰	I
$I_{\text{water}} = ۷۲۸۳±۱۰۸$							

جدول ۲. درصد حجمی محاسباتی پودر در لوله‌ی حاوی جریان دوفازی آب-پودر سنگ آهن (با غنای ۰/۶۷)

	۰/۳٪ حجمی پودر	۰/۲۵٪ حجمی پودر	۰/۲۰٪ حجمی پودر	۰/۱۵٪ حجمی پودر	۰/۱۰٪ حجمی پودر	۰/۰۵٪ حجمی پودر	$\alpha_{\text{powder}}$
Z=Z <sub>o</sub>	۰/۳۲±۰/۲۱	۰/۸۳±۰/۲۵	۰/۱۵۶±۰/۳۲	۰/۱۸۶±۰/۳۴	۰/۲۴۸±۰/۳۸	۰/۳۰±۰/۴۲	$\alpha_{\text{powder}}$
Z=Z <sub>o</sub> +۵	۰/۲۰±۰/۲۲	۰/۹۴±۰/۲۸	۰/۱۵۰±۰/۳۳	۰/۱۹۱±۰/۳۵	۰/۲۴۹±۰/۴۰	۰/۳۰±۰/۴۴	$\alpha_{\text{powder}}$
Z=Z <sub>o</sub> +۱۰	۰/۲۴±۰/۱۹	۰/۸۳±۰/۲۵	۰/۱۴۸±۰/۳۱	۰/۱۹۳±۰/۳۵	۰/۲۴۴±۰/۴۰	۰/۳۰±۰/۴۵	$\alpha_{\text{powder}}$

حجمی از ۰/۱۰۰٪ تا ۰/۰٪ از نفت با گام‌های ۵٪، این بار در دوفازی آب-نفت در محیط شبیه‌ساز نرم‌افزار مونت کارلو MCNP که برای ترابرد پرتوهای گاما در ماده بسیار کاربرد دارد انجام شد. آهنگ‌های شمارش گامای عبوری برای چشممه‌ی پرتوزایی  $^{۴۱}\text{Am}$  با پرتوزایی ۴/۶ GBq (۱۲۵ mCi) در بازه‌ی زمانی ۱۰ min، برای تمام این درصدها و نیز در مرحله کالیبراسیون برای حالتی که کل لوله پُر از آب و نیز پر از نفت بود، به ازای شرایطی که پرتو گاما از کنار شفت عبور می‌کرد، محاسبه، و در جدول ۳ ارائه شده است.

با استفاده از داده‌های جدول ۳ و نیز معادله‌ی (۷)، مقادیر درصد حجمی آب محاسبه، و در جدول ۴ ارائه شده است. در شکل ۵ نمودار تغییر درصدهای حجمی اندازه‌گیری شده در شکل ۴ نمودار تغییر درصدهای حجمی اندازه‌گیری شده آب نسبت به مقادیر از پیش آمده‌سازی شده در محیط شبیه‌ساز  $\text{MCNP}$ ، برای مخلوط دوفازی آب-نفت نشان داده شده است. هم‌خوانی قابل قبول بین نتایج حاصل از اندازه‌گیری درصد حجمی آب و مقادیر از پیش آمده‌سازی شده این درصدها، شاهدی بر توانایی استفاده از تکنیک تضعیف گامای عبوری چشممه کم‌انرژی  $^{۴۱}\text{Am}$  در اندازه‌گیری درصد حجمی مؤلفه‌های دوفازی مورد نظر است.



شکل ۴. تغییر درصدهای حجمی اندازه‌گیری شده پودر نسبت به مقادیر از پیش آمده‌سازی شده در آزمایشگاه، به ازای ارتفاع‌های مختلف قرار گیری سنجه‌ی گاما حول مخزن همگن‌ساز مخلوط دوفازی پودر-آب.

۴. نتایج اندازه‌گیری درصدهای حجمی دوفازی آب-نفت پس از آن که لوب طراحی شده اعتبارسنجی شد، اکنون زمان اندازه‌گیری درصدهای حجمی دوفازی آب-نفت است. در این مرحله، و از آن‌جا که نیاز به استفاده از چشممه‌ی  $^{۴۱}\text{Am}$  با پرتوزایی حداقل ۴/۶ GBq (۱۲۵ mCi) توزیع شده در سطحی دایروی با شاعع ۴mm است تا بتوان باریکه‌ی موازی‌سازی شده با پرتوزایی مناسبی را از آن گرفت، و هنوز چنین چشممه‌ای و در نتیجه موازی‌سازی که برای آن به طور مناسب طراحی و ساخته شده باشد در اختیار نبود، پس ناگزیر محاسبات با درصدهای

جدول ۳. آهنگ شمارش گامای عبوری  $Am^{**}$  از لوله‌ی حاوی جریان دوفازی آب-نفت

$I_{mix}$	$I_{mix}$	$I_{mix}$	$I_{mix}$	$I_{mix}$	$I_{mix}$	$I_{mix}$	$I_{mix}$
$5213 \pm 72$	$5139 \pm 72$	$5093 \pm 71$	$5028 \pm 71$	$5011 \pm 71$	$4985 \pm 71$	$4917 \pm 70$	$4806 \pm 69$
$I_{water} = 4334 \pm 66$				$I_{oil} = 5287 \pm 73$			

جدول ۴. درصد حجمی محاسباتی آب در لوله‌ی حاوی جریان دوفازی آب-نفت

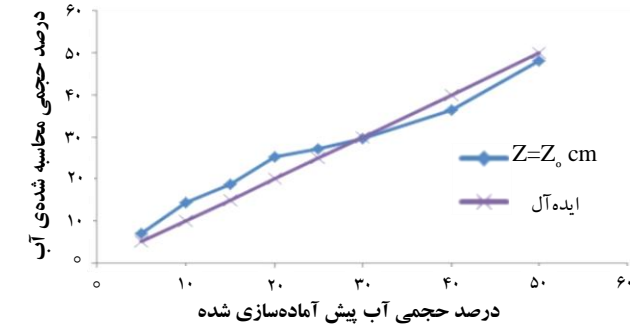
| $\alpha_{water}$ |
|------------------|------------------|------------------|------------------|------------------|------------------|------------------|------------------|
| $77.1 \pm 7.2$   | $74.3 \pm 7.4$   | $71.8 \pm 7.4$   | $69.3 \pm 7.5$   | $67.1 \pm 7.2$   | $64.6 \pm 7.4$   | $62.5 \pm 7.3$   | $60.1 \pm 7.4$   |

آب-پودر آهن، به ازای ۳ موقعیت مختلف در امتداد محور همزن همگن‌ساز، به خوبی و در محدوده‌ی خطای ناشی از آمار شمارش، با یکدیگر هم خوانی دارند که به خوبی نشان از عملکرد مخلوط‌سازی یکسان لوب در امتداد محور استوانه است. از طرف دیگر، این درصدهای محاسباتی با مقادیر واقعی و از پیش آمده، به طور مناسبی در محدوده‌ی خطای استاندارد  $\pm 5\%$  هم خوانی دارد که این نیز خود نشان‌دهنده‌ی همگن‌سازی قابل قبول ترکیب‌های دوفازی آماده شده مطابق با مقادیر اولیه‌ی آنها است.

با توجه به این که لوب طراحی شده اعتبارسنجی شده، و نتیجه‌ی قابل قبولی را نشان داده است، داده‌های حاصل از این پژوهش نشان از اندازه‌گیری صحیح و قابل قبول درصدهای حجمی نفت در مخلوط دوفازی همگن شده آب-نفت، در محدوده‌ی خطای مجاز آماری دارند. با وجود خطای ناشی از آمار شمارش که سبب شده داده‌های شبیه‌سازی با واقعیت اختلاف اندکی داشته باشند، مشاهده می‌شود که نتایج به دست آمده در شبیه‌سازی، حکایت از بیشینه دقت قابل حصول خوبی است که در واقعیت برای داده‌گیری‌های تجربی در آینده، در قیاس با خطای پیشنهادی در مراجع استاندارد ( $\pm 5\%$ ) وجود خواهد داشت.

### تشکر و قدردانی

با سپاس فراوان از پژوهشگاه علوم و فنون هسته‌ای که با کادر علمی مهرب در کنار امکانات آزمایشگاهی و کارگاهی بسیار مناسب، شرایط را برای انجام و به مقصود رسیدن این پژوهش فراهم کرد.



شکل ۵. تغییر درصدهای حجمی اندازه‌گیری شده آب نسبت به مقادیر از پیش آمده‌سازی شده، در محیط شبیه‌ساز MCNP، برای مخلوط دوفازی آب-نفت.

### ۵. بحث و نتیجه‌گیری

همان‌گونه که از معادلات (۷) و (۸) قابل استنباط است، حداقل سرعت لازم برای همگن‌سازی مخلوط دوفازی، به پارامترهای درصد حجمی پودر (فاز پراکنده)، گرانروی مطلق مایع (فاز حامل)، چگالی مایع، بیشینه اندازه‌ی دانه‌های پودر، و مشخصات هندسی پره‌های همزنی بستگی دارد. از طرفی هرچه میزان سرعت پایین‌تری برای دست‌یابی به همگن‌سازی مخلوط نیاز باشد، به معنای سهولت بیش‌تر در همگن‌سازی خواهد بود. با توجه به حداقل سرعت همزن‌ها که برابر با  $1200 \text{ rpm}$  است، و نیز مقادیر به کار گرفته شده‌ی پارامترهای فوق در مورد خاص پودر سنگ آهن-آب در این پژوهش، با استفاده از همزن‌های فوق، می‌توان به آسانی امکان همگن‌سازی و نیز میزان سادگی در این کار نسبت به وضعیت پودر سنگ آهن-آب را به ازای تغییر در پارامترهای مذکور بررسی کرد.

داده‌های ثبت شده در این پژوهش نشان می‌دهند که درصدهای حجمی محاسباتی برای هر کدام از ترکیبات دوفازی



## پی‌نوشت‌ها

1. Baffle
2. Off-Bottom
3. Cavitation

## مراجع

- [1] S. Corneliusen, J.P. Couput, E. Dahl, E. Dykesteen, K.E. Frøysa, E. Malde, H. Moestue, P.O. Moksnes, L. Acheers, H. Tunheim, Handbook of multiphase flow metering. Norwegian Society for Oil and Gas Measurement (NFOGM), Revision 2 (2005).
- [2] T.J. Hill, Gas-liquid flow challenges in oil and gas production, In ASME Fluids Engineering Division Summer Meeting, Vancouver, BC. (1997).
- [3] R. Thorn, G.A. Johansen, E.A. Hammer, Recent Developments in three-phase flow measurement, *Meas. Sci. Technol.* **8** (7) (1997) 691-701.
- [4] <http://cmr.no/facilities/cmr-multiphase-flow-loop>.
- [5] <http://www.prolabnl.com/test-facilities>.
- [6] <http://mff.swri.org>.
- [7] R. Thorn, G.A. Johansen, B.T. Hjertaker, Three-phase flow measurement in the petroleum industry, *Meas. Sci. Technol.* **24** (1) (2012) 1-17.
- [8] G.F. Hewitt, P.S. Harrison, S.J. Parry, G.L. Shires, Development and testing of the 'mixmeter' multiphase flow meter, Proc. 13th North Sea Flow Measurement Workshop (Lillehammer, Norway) (1995).
- [9] M.N. Al-Khamis, A.F. Al-Bassam, Z. Bakhteyar, M.N. Attab, Evaluation of phasewatcher multiphase flow meter (MPFM) in sour environments, Proc. Offshore Technology Conf. (Houston, USA) (2008).
- [10] Ø. Foss°a, G. Stobie, A. Wee, Successful implementation and use of multiphase meters Proc. 27th Int. North Sea Flow Measurement Workshop (Tønsberg, Norway) (2011).

## فهرست نشانه‌ها

$\alpha_{gas}$	درصد حجمی گاز
$\alpha_{water}$	درصد حجمی آب
$\alpha_{oil}$	درصد حجمی نفت
$v_{gas}$	سرعت گاز
$v_{water}$	سرعت آب
$v_{oil}$	سرعت نفت
$A$	سطح مقطع لوله‌ی جریان
$Q$	دبی حجمی سه‌فازی
$\mu_{gas}$	ضریب تضعیف خطی گاز
$\mu_{water}$	ضریب تضعیف خطی آب
$\mu_{oil}$	ضریب تضعیف خطی نفت
$I_o$	آهنگ شمارش لوله‌ی خالی
$I_{mix}$	آهنگ شمارش لوله‌ی حاوی سیال
$d$	طول تضعیف گاما در لوله
$B$	فاکتور هندسی
$I_{water}$	آهنگ شمارش لوله‌ی حاوی آب
$I_{oil}$	آهنگ شمارش لوله‌ی حاوی نفت
$\beta_{powder}$	درصد جرمی پودر
$\alpha_{powder}$	درصد حجمی پودر
$\rho_{powder}$	چگالی پودر
$P_{water}$	چگالی آب
$I_t$	آهنگ شمارش لوله‌ی حاوی بیشینه درصد حجمی پودر
$t$	بیشینه درصد حجمی پودر
$N_{js}$	حداقل سرعت دورانی رسیدن به یک سوسپانسیون کامل
$N_{us}$	حداقل سرعت دورانی رسیدن به یک سوسپانسیون همگن
$d_p$	قطر بزرگ‌ترین ذره‌ی جامد
$g_c$	ثابت گرانش
$\rho_s$	چگالی ذرات جامد
$\rho_l$	چگالی مایع
$v_{slurry}$	گرانروی جنبشی دوغاب
$\mu_{slurry}$	گرانروی مطلق دوغاب
$\rho_{slurry}$	چگالی دوغاب
$\mu_{liquid}$	گرانروی مطلق فاز مایع
$N_p$	عدد توان همزن
$\eta$	عکس بازدهی الکتروموتور
$\gamma$	عکس درصد اتلافی توان الکتروموتور
$P$	توان الکتروموتور
$X$	درصد جرمی جامد در مایع



- [11] P. Mehdizadeh, D. Farchy, J. Suarez, Multiphase meter production well testing applied to low GOR mature fields, Proc. SPE Production and Operations Symp. (Oklahoma, USA) (2009).
- [12] E.L. Paul, V.A. Atiemo-Obeng, S.M. Kresta, Handbook of Industrial Mixing: Science and Practice, John Wiley & Sons, (2004).
- [13] I.J. Karassik, J.P. Messina, P. Cooper, C.C. Heald, Pump Handbook, McGraw-Hill, (2001).
- [14] A.C. Wightley, Slurry Pumping Manual, a Technical Application Guide for Users of Centrifugal Slurry Pumps and Slurry Pumping Systems, First Edition, Warman International LTD, (2002).